

УДК 535.34-15+539.194 : 541.49

## ИК СПЕКТРЫ Н-КОМПЛЕКСОВ ПЕРФТОРТРЕТБУТАНОЛА ВО ФРЕОНЕ (20–200 К)

*Искандеров Т. А., Кимельфельд Я. М., Смирнова Е. М.,  
Иогансен А. В., Розенберг М. Ш.*

Измерены полосы  $\nu$  (ОН) в ИК спектре Н-комплексов перфтортетбутианола с ацетонитрилом и диметиловым эфиром в смеси фреонов (II+114B2) при 300–20 К, а также в газе при 300 К. Показано, что ширина полос во фреоне в 2–3 раза больше, чем в газе, а последняя примерно совпадает с измеренной ранее шириной полос в жидким ксеноне при близкой температуре (270 К). Наблюдавшееся ранее уменьшение (в 2–4 раза) ширины полос Н-комплексов в сжиженных благородных газах (Хе, Кг) при 125–270 К по сравнению с растворами в  $\text{CCl}_4$  при 300 К не объяснимо разностью температур.

Согласно [1, 2], ширина ИК полос  $\nu$  (ОН) Н-комплексов перфтортетбутианола  $(\text{CF}_3)_3\text{COH}$  (I) с рядом оснований в сжиженных при 125–270 К благородных газах (Кг, Хе) в 2–4 раза меньше, чем в обычном растворителе ( $\text{CCl}_4$  при 300 К).<sup>1</sup> Чтобы сопоставить частоты и ширины полос в разных средах при равных температурах, были измерены от 300 до 120 К  $\nu$  (ОН)-полосы тех же комплексов I с ацетонитрилом  $\text{CD}_3\text{CN}$  (1) и диметиловым эфиром  $(\text{CD}_3)_2\text{O}$  (2) в жидкой до ~120 К смеси фреона II ( $\text{CFCl}_3$ ) и фреона 114B2 ( $\text{C}_2\text{F}_4\text{Br}_2$ ) («фреон») [3]. Для сравнения с растворами измерены полосы  $\nu$  (ОН) изолированных Н-комплексов (I–1) и (I–2) в газовой фазе в 10-сантиметровой кювете при концентрациях реагентов  $(1\text{--}5) \cdot 10^{-3}$  М. Растворы с концентрацией 0.1–0.7 М (I–1) и (I–2) содержали трехкратный избыток основания.

Спектры растворов, охлажденных с помощью криомашины «Дисплекс» в кюветах на оптическом контакте толщиной 0.1–0.3 мм из  $\text{CaF}_2$ , записывали на спектрометре Перкин–Эльмер-325. Однократно были измерены спектры разбавленного ( $10^{-3}$  М) раствора комплекса I–1 в слое 3 мм; полосу  $\nu$  (ОН) в этом случае выделили графически, вычитая из суммарного спектра записанное отдельно при той же температуре (сравнимое) поглощение растворителя. Параметры полос измеренных спектров (рис. 1 и 2) приведены в таблице вместе с данными [1, 2]. Приведена также частота центра тяжести (первого момента) полосы в тех случаях, когда она значительно отличалась от частоты максимума (в основном из-за значительных Ферми-спутников). Для определения второго момента недоставало точности измерения «крыльев» полос. Результаты для комплекса I–1 при 100 и 300 К совпали с [4].

Из результатов (см. таблицу) следует, что ширина полос исследованных комплексов в газовой фазе (при 300 К) близка к ширине полос в растворах в благородных газах при 250–270 К (рис. 1, 2). Перенос Н-комплекса при той же температуре в обычный растворитель ( $\text{CCl}_4$  при 300 К или фреон при более низких температурах) приводит к сильному расширению полос, что подтверждается литературными данными. Так, измеренная при 90 К в  $\text{N}_2$  [5] и в  $\text{Ar}$  [6] ширина полосы  $\nu$  (HCl) комплекса  $\text{HCl}-\text{C}_2\text{H}_4$  составляет  $20\text{--}25 \text{ см}^{-1}$ , а во фреоне —  $80 \text{ см}^{-1}$  при 150 К [7].

Слабая температурная зависимость ширины полос во фреоне показывает, что разность температур не может быть причиной различия ширины в bla-

<sup>1</sup> То же наблюдалось [1] с метанолом и трифторметанолом.

городном газе и в обычном растворителе. Подчеркнем, что и в разбавленном растворе во фреоне полоса все же оставалась более широкой, чем в растворе в Xe.

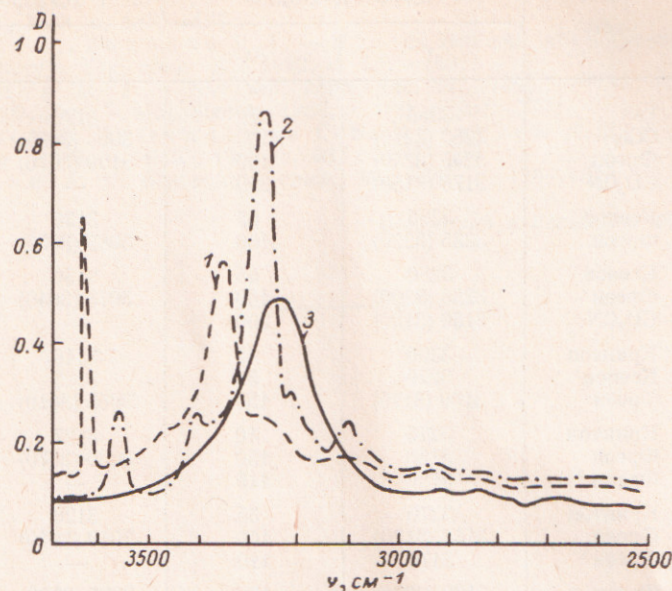


Рис. 1. ИК спектры  $(CF_3)_3COH-CD_3CN$ .

1 — газовая фаза, 300 К, 2 — раствор в Xe, 270 К, 3 — раствор во фреоне, 300 К.

Из таблицы видно, что ширины  $\nu(OH)$ -полос комплексов I—1 и I—2 в растворах в Xe и Kr различаются много больше (приблизительно в 2.5÷3 раза), чем в растворах во фреоне (приблизительно в 1.2 раза) при одинаковых температурах. Таким образом, природа основания более четко проявляется в рас-

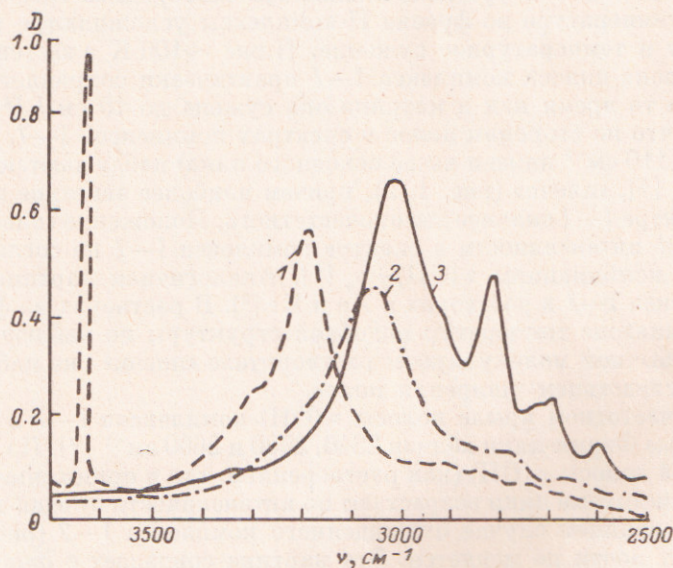


Рис. 2. ИК спектры  $(CF_3)_3COH-(CD_3)_2O$ .

1 — газовая фаза, 300 К, 2 — раствор во фреоне, 300 К, 3 — раствор во фреоне, 125 К.

творах в сжиженных благородных газах, чем в обычных растворителях. С другой стороны, температурный сдвиг  $\nu(OH)$ -полосы H-комплексов в растворах в жидких Xe и Kr несколько меньше, чем во фреоне. По-видимому, это связано с большей шириной полосы в последнем случае.

Частоты и ширины полос  $\nu(\text{OH})$  бинарных H-комплексов  
в различных средах<sup>1</sup>

T, K	Среда	$(\text{CF}_3)_3\text{COH}-\text{CD}_3\text{CN}$		$(\text{CF}_3)_3\text{COH}-(\text{CD}_3)_2\text{O}$	
		$\nu$	$\nu_{1/2}$	$\nu$	$\nu_{1/2}$
300	Газ	3355	70	3190	120
	$\text{CCl}_4$	3250 (3210)	160	3090 (3065)	220
	Фреон	3245 (3240)	160	3100 (3070)	200
	$\text{CD}_3\text{CN}$	3175 (3150)	240	—	—
270	Ксенон	3285	65	3135	130
	Фреон	3235 (3220)	160	3085 (3055)	195
250	Ксенон	3280	65	3130	130
	Фреон	3230 (3200)	160	3075 (3040)	185
	$\text{CD}_3\text{CN}$	3150 (3130)	200	—	—
200	Криптон	3290	45	3140	115
	Ксенон	3270	50	3125	120
	Фреон	3190 (3170)	155	3055 (3010)	180
150	Криптон	3275	40	3127	110
	Фреон	3150	150	3030 (2970)	180
	Фреон <sup>2</sup>	3180	115	—	—
125	Криптон	3270	35	3120	105
	Фреон	3150 (3130)	150	3010 (2940)	180
	Фреон <sup>2</sup>	3170	110	—	—
90	Фреон	3100 (3075)	130	2995 (2900)	180
20	Фреон	3095 (3070)	120	2990 (2900)	170

Примечание. <sup>1</sup>  $\nu$  — частота максимума (в скобках),  $\nu_{1/2}$  — ширина полосы. <sup>2</sup>  $10^{-6}$  М раствор, оптика  $\pm 20 \text{ см}^{-1}$ .

Обращает на себя внимание возрастающее с понижением температуры отношение ширин полос во фреоне и сжиженном благородном газе. Возможно, что при низкой температуре во фреоне H-комплексы усложняются и это частично компенсирует и температурное сужение. Ниже  $\sim 100$  К в застеклованном растворе во фреоне полоса комплекса I—I практически сохраняет свою ширину  $\sim 120 \text{ см}^{-1}$ , в то время как в матрице она сужена до  $10 \text{ см}^{-1}$  [4].

Отметим, что по сторонам полос в спектрах комплексов I—I, I—2 в газовой фазе (на 80 и  $110 \text{ см}^{-1}$  ниже и выше основного пика) наблюдаются, как и в других системах [8], «плечи» (рис. 1, 2), причем наиболее заметное низкочастотное «плечо» в спектре I—I сильнее высокочастотного. Положение «плеч» согласуется, а соотношение интенсивности в спектре комплекса I—I не согласуется с отношением их к комбинациям  $\nu(\text{OH}) \pm \nu$  [8]. Аналогичная картина наблюдалась и для комплекса I—I в растворах в Хе и Kr [2]. В растворах во фреоне в исследованном диапазоне температур подобной структуры не наблюдалось. Вообще ни в каком обычном молекулярном растворителе «плечи» не наблюдаются, что может быть следствием уширения полос.

На низкочастотном крыле полосы  $\nu(\text{OH})$  комплексов I—I и I—2 наблюдаются известные Ферми-пики вблизи  $2840$ ,  $2680$  и  $2600 \text{ см}^{-1}$  [9]. По мере смещения вниз основной полосы  $\nu(\text{OH})$  (как растворением, так и понижением температуры раствора) упомянутые пики возрастают по интенсивности от едва заметных в газе до  $\sim 20\%$  в крайнем случае охлажденного комплекса I—2 (рис. 2); при этом положение их почти не меняется. Эта картина совпадает с ожидаемой от обострения Ферми-резонанса и лишний раз подтверждает природу возмущения  $\nu(\text{OH})$  [10].

#### Литература

- [1] Искандеров Т. А., Кимельфельд Я. М., Смирнова Е. М. — В кн.: XIX Всесоюз. съезд по спектроскопии: Тез. докл. Ч. III. Томск, 1983. с. 59—61.
- [2] Искандеров Т. А., Кимельфельд Я. М., Смирнова Е. М. — В кн.: III советско-польский симпозиум по водородной связи: Тез. докл. М., 1985, с. 9—10.

- [3] Sandorfy C. — The hydrogen bond-recent developments in theory and experiments, II. Chapter 13/Ed. by P. Schuster e. a. North-Holland, Amsterdam, 1976, p. 615—654.
- [4] Bugeau A., Loutellier A., Schriver L. — J. Mol. Struct., 1980, v. 61, p. 397—402.
- [5] Кимельфельд Я. М., Искандеров Т. А., Смирнова Е. М. — ЖФХ, 1978, т. 52, № 8, с. 1875—1878.
- [6] Муратов Г., Токадзе К. Г. — В кн.: II Всесоюз. науч. совещ. по химии низких температур: Тез. докл. М., 1982, с. 167—169.
- [7] Машьянов М. Н. — Автореф. канд. дис. М., 1985.
- [8] Millen D. J. — J. Mol. Struct., 1983, v. 100, p. 351—377.
- [9] Глазунов В. П., Одиноков С. Е., Иогансен А. В., Куркчи Г. А., Фурман В. М. — ЖПС, 1980, т. 38, с. 107—113.
- [10] Иогансен А. В. Водородная связь. М., 1981, с. 128—131.

Поступило в Редакцию 28 января 1986 г.